DOI: 10.3969/j.issn.1005-8982.2016.06.004 文章编号: 1005-8982(2016)06-0015-04

论著

# 胰岛素样生长因子结合蛋白7过表达对人乳腺癌细胞系-7增殖的影响及其机制研究

魏丽瑶,岳春燕,彭健(中南大学湘雅医院 普外科,湖南 长沙 410008)

摘要:目的 探究过表达胰岛素样生长因子结合蛋白 7(IGFBP7)对人乳腺癌细胞系 -7(MCF-7)增殖的影响及其机制。方法 采用 Lipofectamine 1000 将 pIRES2- ZsGreen1- 1000 号 pIRES2- ZsGreen1 空白质粒转染进 MCF-7 乳腺癌细胞,并用荧光显微镜鉴定细胞转染;实时荧光定量聚合酶链反应(Real-time PCR) 对转染 1000 科 的 First 是 1000 书 pIRES2- ZsGreen1 空白质粒转染进 MCF-7 乳腺癌细胞,并用荧光显微镜鉴定细胞转染;实时荧光定量聚合酶链反应(Real-time PCR) 对转染 1000 对转染 1000 和 1000 和

关键词: 实时荧光定量聚合酶链反应;胰岛素样生长因子结合蛋白 7;增殖;蛋白激酶 B 中图分类号: R737.9 文献标识码: A

## Effect of IGFBP7 overexpression on proliferation of breast cancer cell line MCF-7

Li-yao Wei, Chun-yan Yue, Jian Peng (Xiangya Hospital, Central South University, Changsha, Hunan 410008, China)

Abstract: Objective To investigate the effect of insulin-like growth factor binding protein 7 (IGFBP7) on proliferation of human breast cancer cell line MCF-7 and its mechanism. Methods Plasmid pIRES2-ZsGreen1-IGFBP7 or empty plasmid pIRES2-ZsGreen1 was transfected into MCF-7 cells using Lipofectamine™ 2000 and the cell transfection efficiency was examined by fluorescence microscopy. Real-time fluorescent quantitative PCR (RTFQ-PCR) was used to quantify the expression of IGFBP7. MTT was performed to evaluate the effect of IGFBP7 on proliferation and apoptosis of MCF-7 cells at 24, 48 and 72 hours after transfection. The expression of relevant proteins of AKT/mTOR signaling pathway was analyzed by Western blot. Results The IGFBP7 mRNA level increased significantly after IGFBP7 transfection. Compared with the controls, cell proliferation noticeably decreased in the IGFBP7-transfected group. Western bolt analysis indicated that the AKT phosphorylation was down-regulated, and the mTOR level dropped markedly (*P* < 0.05). Conclusions Overexpression of IGFBP7 could down-regulate the proliferation of MCF-7 cells, possibly via inhibiting the AKT/mTOR signaling pathway.

Keywords: real-time quantitative polymerase chain reaction; insulin-like growth factor binding protein 7; proliferation; protein kinase B

收稿日期:2015-12-02

[通信作者] 彭健, E-mail: 970266784@qq.com; Tel: 13607441906

胰岛素样生长因子结合蛋白(insulin like growth factor binding proteins, IGFBPs),是一种对哺乳动物细胞中的胰岛素样生长因子(insulin like growth factors, IGFs)的生物利用度具有调节作用的蛋白质,因此在细胞的分化、增殖和生长等代谢过程中,IGFBPs 具有极为重要的作用。目前研究发现,人体内有7种 IGFBPs 的亚型<sup>[1]</sup>。根据其对 IGF 的亲和力的不同将其分为低亲和力的 IGFBP7~10 和高亲和力的 IGFBP1~6<sup>[2]</sup>。低亲和力的 IGFBPs 与 IGFs 的亲和力仅是高亲和力 IGFBP 的  $1/25 \sim 1/5$ 。在低亲和力 IGFBPs 中最先被证实的是 IGFBP7。

IGFBP7 在人体中的分布较为广泛,诸如脾脏、大小肠以及卵巢等组织器官中均有表达,但研究<sup>13</sup>发现若组织发生肿瘤样变,其表达水平将发生下调甚至缺失,如在肝癌、前列腺癌以及乳腺癌等恶性肿瘤中;在正常的乳腺导管以及小叶上皮细胞中 IGFBP7也有表达,在发生衰老的乳腺上皮细胞中则出现IGFBP7过表达现象<sup>13</sup>,乳腺癌组织中 IGFBP7的表达却明显降低,并且与癌组织的恶性程度之间呈负相关<sup>14</sup>。由此可见,胰岛素样生长因子结合蛋白7能作为特异性标志物从病理学和血清学方面诊断乳腺肿瘤,同时 IGFBP7有可能是一肿瘤抑制基因,可能成为肿瘤治疗的新靶点。因此,本实验通过在乳腺癌MCF-7细胞中过表达 IGFBP7,研究 IGFBP7的过表达对乳腺癌细胞增殖的影响。

#### 1 材料与方法

#### 1.1 材料与试剂

pIRES2-ZsGreen1-IGFBP7 质粒、人乳腺癌细胞系 -7 (michigan cancer foundation-7,MCF-7)由本实验室保存,胎牛血清、达尔伯克必需基本培养基(dulbecco's minimum essential medium,DMEM)培养基购买于杭州四季青公司,胰酶、噻唑蓝、二甲基亚砜(dimethyl sulfoxide,DMSO)购买于南京凯基生物公司,质粒提取试剂盒购买于美国 Omega Bio-Tek 公司,Lipofectamine™ 2000 转染试剂购买于美国 Invitrogen 公司,兔抗人 IGFBP7、辣根过氧化物酶标记的羊抗兔 IgG 购自美国 Sigma 公司,增强化学发光法(enhanced chemiluminescence,ECL)显色试剂盒来自南京凯基公司。

#### 1.2 仪器与设备

超净工作台购自苏州基团安泰空气技术公司, 微量移液器购自德国 Eppendorf 公司,电热恒温干燥 箱购自上海精宏实验设备公司,聚合酶链反应 (polymerase chain reaction, PCR) 仪购于德国 Eppendorf 公司,电子天平购自于德国精密仪器厂,恒温水浴锅购自海尔公司,凝胶成像系统购自美国 Kodak 公司。

#### 1.3 质粒抽提

采用 Endo-Free Plasmid Mini Kit II 进行质粒抽提:取摇菌后菌液离心收集,加入  $500\,\mu$ I Solution II 裂解,加入  $250\,\mu$ I 冰浴 Buffer N3 中和生成白色沉淀,取上清液加入内毒素吸附缓冲液去内毒素,加入无水乙醇,离心吸附柱离心收集,加入  $500\,\mu$ I Buffer HB 除蛋白质,700  $\mu$ I 2 次 DNA Wash Buffer 脱盐,最后洗脱,酶标仪检测。

#### 1.4 MCF-7 细胞培养

用 10%的胎牛血清 DMEM 培养基,在 37℃、5% 二氧化碳 CO₂ 细胞培养箱中培养 MCF-7 乳腺癌细胞,待细胞增殖 80%~90%时,用胰酶消化传代。

#### 1.5 细胞转染

在 24 孔板中接种 MCF-7 细胞,5×10<sup>4</sup> 个 / 孔,于第 2 天使用 Lipofectamine<sup>™</sup> 2000 将 pIRES2-Zs-Green1-IGFBP7 质粒或 pIRES2-ZsGreen1 空白质粒转染进 MCF-7 乳腺癌细胞,分为空白对照组、空白质粒转染组和 IGFBP7 质粒转染组,置于  $37^{\circ}$ C、5%二氧化碳  $CO_2$  培养箱中培养 6 h 换液,继续培养 24 h 后,荧光显微镜观察转染率。

#### 1.6 对 IGFBP7 的 mRNA 表达水平进行测定

使用 GAPDH 作为 PCR 检测的内参指标,引物设计如下:IGFBP7 正向引物 5'-TGCCATGCATC-CAATTCCCA-3',反向引物 5'-TGGAGGTTTATAGC TCGGCA-3';GAPDH 正向引物:5'-TGCACCACCAA CTGCTTAGC-3',反向引物:5'-GGCATGGACTGTGG TCATGAG-3'。反应条件设定为:95℃预变性 5 min,95℃变性 30 s,58℃退火 30 s,共 42 个循环,最后 95℃继续延伸 10 min。

#### 1.7 细胞凋亡实验

在 96 孔板中加入 MCF-7 细胞,过夜培养,3 组细胞分别转染 24、48 和 72 h后,再每孔中加入噻唑蓝 20  $\mu$ I,继续 4 h 培养,再加入 DMSO 150  $\mu$ I,应用自动酶标仪在 570 nm 处测定各组细胞的光密度 (optical density,OD)值,对各组细胞的生存活力及增殖能力进行评估。

#### 1.8 Western blot 检测蛋白表达

取  $40 \mu g$  总蛋白于 10%的聚丙烯酰胺凝胶中电泳,用半干式电印迹将蛋白转移至硝酸纤维素膜, 5%脱脂牛奶封闭 1h 后,分别加入相应一抗,4%过夜,洗膜后分别加入辣根过氧化物酶标记的二抗, 37%解育 1h,洗膜后加 ECL,将膜放入 X 线片暗盒、压片、显影、定影,以 GAPDH 的表达作为参照,比较目的条带的灰度值与内参条带的灰度值。

#### 1.9 统计学方法

采用 SPSS 19.0 统计软件进行数据分析,用单因素 ANOVA 统计法对数据进行分析,组间用最小显著性差异法进行两两比较, P < 0.05 为差异有统计学意义。

#### 2 结果

#### 2.1 表达载体的细胞转染

Lipofectamine™ 2000 转染试剂转染 48 h 后, 荧光显微镜观察转染情况, 质粒转染成功, 且转染率 > 70%。见图 1。

#### 2.2 转染后 MCF-7 细胞中 IGFBP7 mRNA 的表达

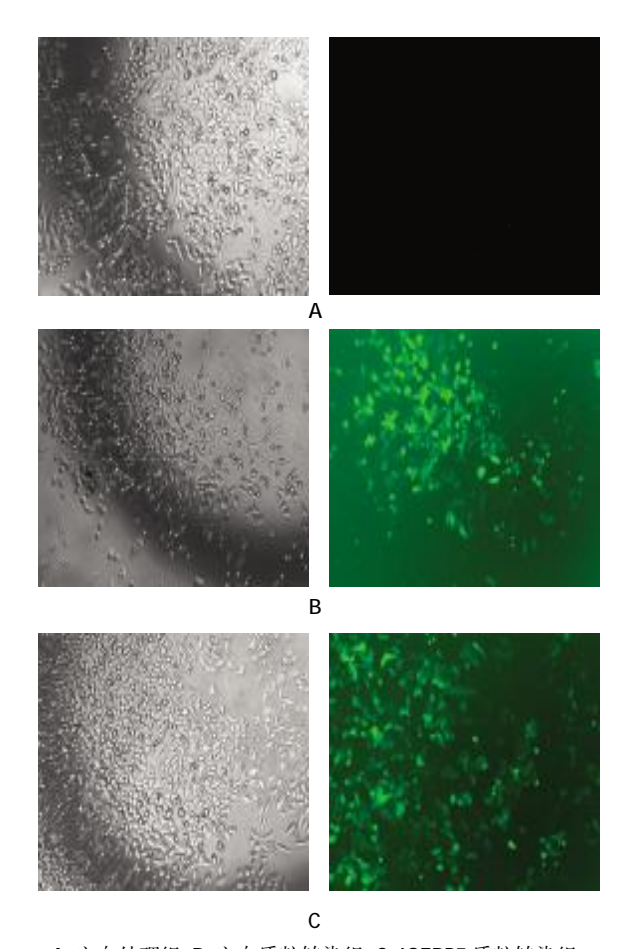
转染 48 h 后,RT-PCR 检测各组细胞的 IGFBP7 mRNA 水平,空白处理组和空白质粒转染组比较,差异无统计学意义(P=0.121),IGFBP7 组细胞与空白处理组比较,差异有统计学意义(P=0.012),且IGFBP7 mRNA 水平升高。IGFBP7 组细胞和空白质粒转染组比较,差异有统计学意义(P=0.003),IGFBP7 mRNA 水平升高。见图 2。

#### 2.3 MCF-7 细胞的增殖能力

噻唑蓝细胞活力检测结果显示,空白质粒转染组与空白处理组细胞活力比较,差异无统计学意义(P=0.312),空白质粒转染组略升高 3%(见图 3)。IGFBP7 组细胞活力与空白处理组比较,差异有统计学意义(P=0.005),低于空白处理组;与空白质粒转染组比较,差异有统计学意义(P=0.001),低于空白质粒转染组,其中 72 h 最为明显(见图 4),IGFBP7可抑制 MCF-7 细胞增殖。

### 2.4 IGFBP7 过表达对 MCF-7 细胞中蛋白激酶 B/雷帕霉素靶蛋白信号通路的影响

Western blot 检测过表达转染 IGFBP7 的 MCF-7 细胞中在蛋白激酶 B(protein kinase B,AKT)的蛋白表达,结果显示 3 组在 AKT 的蛋白表达方面差异无统计学意义,但 AKT 蛋白磷酸化状态,IGFBP7 组减弱,同时下游的 mTOR 蛋白表达也减弱。见图 5。



A:空白处理组;B:空白质粒转染组;C:IGFBP7 质粒转染组

图 1 质粒转染细胞 48 h 荧光效果图

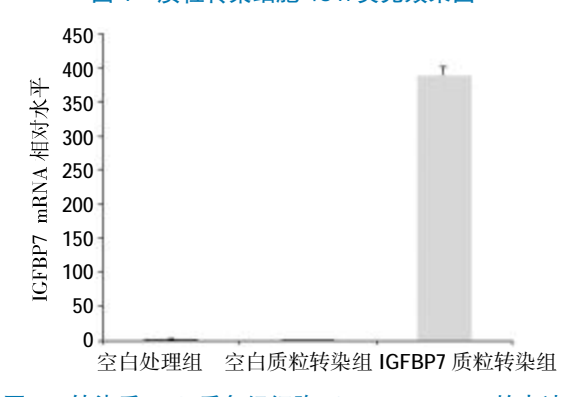
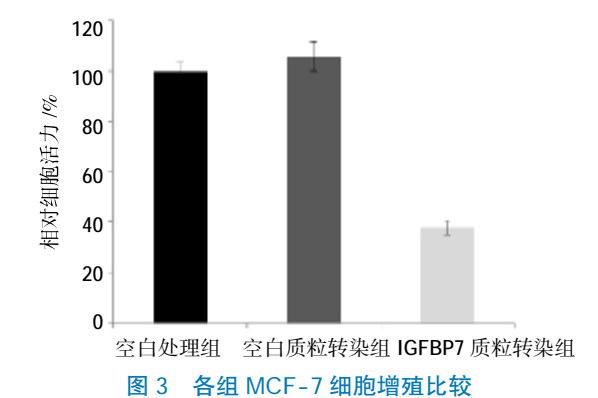


图 2 转染后 48 h 后各组细胞 IGFBP7 mRNA 的表达



中国现代医学杂志 第 26 卷

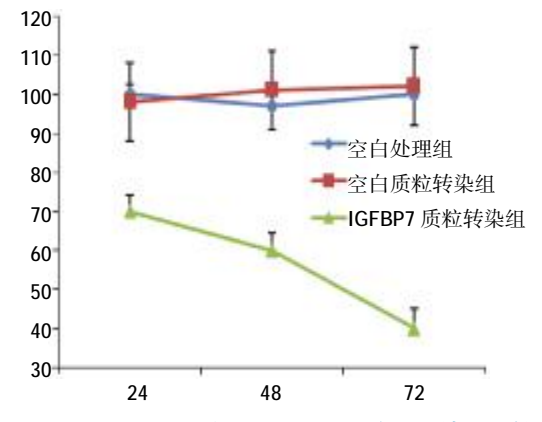
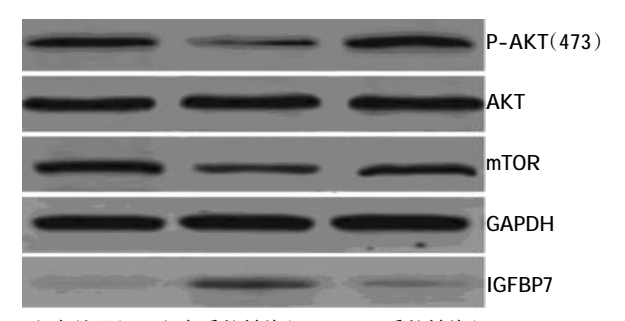


图 4 24、48 和 72 h 各组 MCF-7 细胞增殖情况比较



空白处理组 空白质粒转染组 IGFBP7 质粒转染组

图 5 IGFBP7 对 MCF-7 细胞中 AKT/mTOR 信号通路的影响

#### 3 讨论

胰岛素样生长因子结合蛋白 7 作为 IGFBP 超家族中的一员,在细胞的分化、增殖和生长等代谢过程中具有极为重要的作用。其中大量的研究证实IGFBP7 的表达与多种癌症的发生相关[5-9],是多种肿瘤的抑癌因子。

乳腺癌是常见的恶性肿瘤之一,其病死率高居 女性癌症首位,而在我国,乳腺癌的发病率不仅逐年 上升,而且日趋年轻化。虽然目前对于乳腺癌的治 疗取得了一定的进展,但乳腺癌的发病率的增长速 度仍不容乐观。

IGFBP7 可抑制多种肿瘤细胞的增殖,但其生物分子机制不尽相同。近年来研究表明,AKT/mTOR 通路在肿瘤细胞增殖、血管新生和转移以及对放化疗的拮抗起重要作用,其在乳腺癌中经常被激活,乳腺癌中这条信号通路的活化高达 70%。目前的研究结果显示,AKT/mTOR 信号通路的被激活可能是导致恶性肿瘤发生的一个重要原因,其主要是对细胞的周期产生影响从而对细胞的增殖发生改变。AKT/mTOR 信号通路的活化与肿瘤细胞的发展有着密切

的相关性<sup>[10]</sup>。也有研究指出 AKT 以及下游的 mTOR, 将肿瘤细胞的增殖起到抑制作用<sup>[11]</sup>。本次研究中,通过过表达 IGFBP7,对 AKT/mTOR 信号通路进行抑制,达到抑制细胞活力和增殖的目的。

本研究中 IGFBP7 在 MCF-7 乳腺癌细胞中出现过表达,对转染细胞株的增殖和活力水平进行检测发现,转染组细胞的活力和增殖能力明显下降,同时伴随着 IGFBP7 的过表达,MCF-7 乳腺癌细胞中的 AKT/mTOR 信号通路被抑制,IGFBP7 的过表达与MCF-7 乳腺癌细胞之间呈现负相关。

#### 参考文献:

- [1] Baxter RC. IGF binding proteins in cancer: mechanistic and clinical insights[J]. Nat Rev Cancer, 2014, 14(5): 329–341.
- [2] Kim HS, Nagalla SR, Oh Y. Identification of a family of low-affinity insulin-like growth factor binding proteins (IGFBPs): characterization of connective tissue growth factor as a member of the IGFBP super family[J]. Proc Natl Acad Sci USA, 1997, 94(24): 12981–12986.
- [3] Burger AM, Leyland-Jones B, Banerjee K. Essential roles of IGFBP-3 and IGFBP-rPI in breast cancer [J]. Eur J Cancer, 2005, 41(11): 1515-1527.
- [4] Ivan B, Florence L, Sengul T. Molecular profiling of inflammatory breast cancer: identifi-cation of a poor-prognosis gene expression signature[J]. Clin Cancer Res, 2004, 10(20): 6789-6795.
- [5] Chen QJ, Zhou HM, Chen J, et al. Using a modified TA cloning method to crease entry clones [J]. Anal Biochem, 2006, 359: 120–125
- [6] Yen TY, Li KP, Ou SC. Construction of an infectious plasmid clone of muscovy duck parvovirus by TA cloning and creation of a partially attenuated strain[J]. Avian Pathol, 2015, 44(2): 124-128.
- [7] Benatar T, Yang W, Amemiya Y, et al. IGFBP7 reduces breast tumor growth by induction of senescence and apoptosis pathway[J]. Breast Cancer Res Treat, 2012, 133(2): 563-573.
- [8] Suzuki H, Igarashi S, Nojima M, et al. IGFBP7 is a p53-responsive gene specifically silenced in colorectal cancer with CpG island methlator phenotype[J]. Carcinogenesis, 2010, 31(3): 342-349
- [9] Vizioli MG, Sensi M, Miranda C, et al. IGFB7: an onco-suppressor gene in thyroid carcinogenesis[J]. Oncogene, 2010, 29(26): 3835-3844.
- [10] Kim EY, Kim A, Kim SK, et al. Inhibition of mTORC1 induces loss of E-cadherin through AKT/GSK-3  $\beta$  signaling-mediated up-regulation of E-cadherin repressor complexes in non-small cell lung cancer cells[J]. Respir Res, 2014, 15: 26.
- [11] Li X, Yang Q, Yu H, et al. LIF promotes tumorigenesis and metastasis of breast cancer through the AKT-mTOR pathway[J]. Oncotarget, 2014, 5(3): 788-801.

(申海菊 编辑)